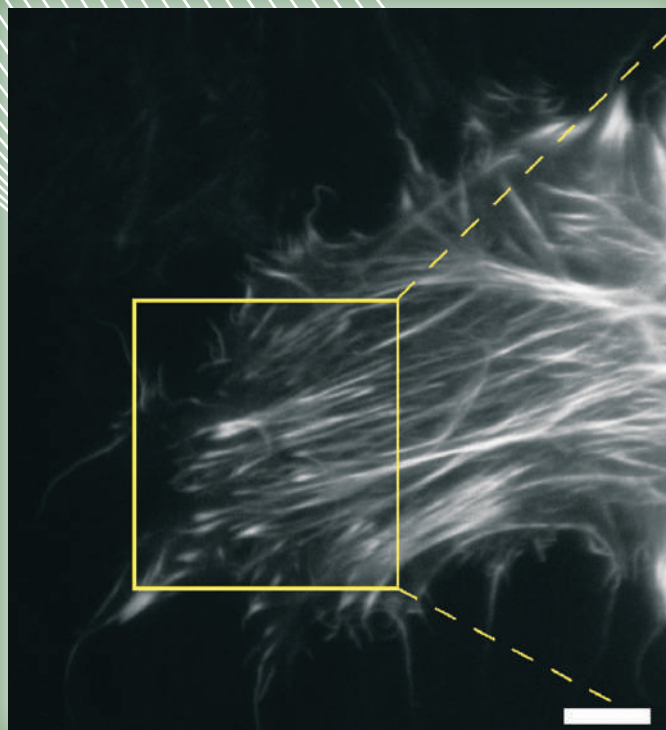
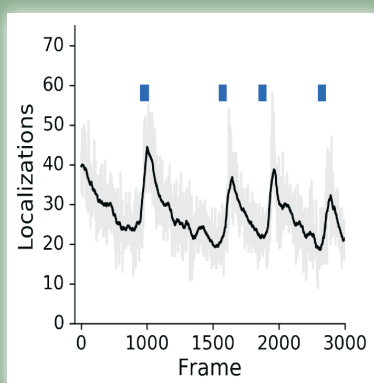
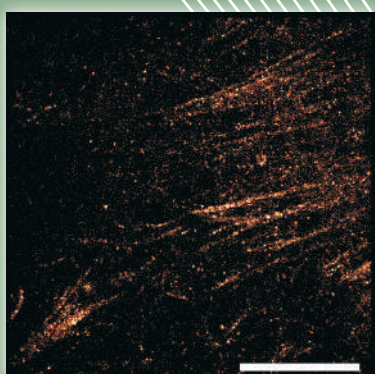


**СТМ** | современные  
технологии  
в медицине

**Том 10, №1 | 2018**



## БИОФОТОНИКА В ИССЛЕДОВАНИИ РАКА

Определение границы инфильтративно растущей опухоли на модели глиомы крысы методом кросс-поляризационной оптической когерентной томографии: пилотное исследование

Определение границы инфильтративно растущей опухоли на модели глиомы крысы методом кросс-поляризационной оптической когерентной томографии: пилотное исследование

Kiseleva E.B., Yashin K.S., Moiseev A.A., Snopova L.B., Gelikonov G.V., Medyanik I.A., Kravets L.Ya., Karyakin N.N., Vitkin I.A., Gladkova N.D.

стр. 6-14.

Неинвазивный скрининг злокачественных новообразований полости рта *in vivo* с применением метода лазерно-индуцированной флюоресценции

Неинвазивный скрининг злокачественных новообразований полости рта *in vivo* с применением метода лазерно-индуцированной флюоресценции

Patil A., Unnikrishnan V.K., Ongole R., Pai K.M., Kartha V.B., Chidangil S.

стр. 15-26.

Томографическое *en-face* изображение рассеивающих объектов с использованием полнополюсной оптической когерентной микроскопии на основе однополосного светоизлучающего диода

Томографическое *en-face* изображение рассеивающих объектов с использованием полнополюсной оптической когерентной микроскопии на основе однополосного светоизлучающего диода

Anna T., Chakraborty S., Karmenyan A., Chiou A., Kuo W.-C.

стр. 27-34.

Феномен фотоактивности синего флюоресцентного белка TagBFP и его использование в микроскопии сверхвысокого разрешения

Феномен фотоактивности синего флюоресцентного белка TagBFP и его использование в микроскопии сверхвысокого разрешения

Klementieva N.V., Lukyanov K.A., Gorbachev D.A., Chudakov D.M., Zagaynova E.V., Mishin A.S.

стр. 35-38.

Альтернативный метод контрастирования в оптической когерентной томографии: оценка синхронности мигания спеклов

Альтернативный метод контрастирования в оптической когерентной томографии: оценка синхронности мигания спеклов

Demidov V., Demidova O., Shabunin A., Vitkin I.A.

стр. 39-48.

Флюоресценция наноалмазов в ближнем инфракрасном диапазоне. Использование для мультимодального биоимиджинга

Флюоресценция наноалмазов в ближнем инфракрасном диапазоне. Использование для мультимодального биоимиджинга

Lin Y.-C., Tsai L.-W., Perevedentseva E., Karmenyan A., Cheng C.-L.

стр. 49-56.

Трекинг наночастиц  $\text{NaYF}_4$ : $\text{Yb}^{3+}$ ,  $\text{Tm}^{3+}$  в живых опухолевых клетках в режиме реального времени

Трекинг наночастиц  $\text{NaYF}_4$ : $\text{Yb}^{3+}$ ,  $\text{Tm}^{3+}$  в живых опухолевых клетках в режиме реального времени

Kostyuk A.B., Guryev E.L., Vorotnov A.D., Sencha L.M., Peskova N.N., Sokolova E.A., Liang L., Vodeneev V.A., Balalaeva I.V., Zvyagin A.V.

стр. 57-63.

## БИОФОТОНИКА В РЕГЕНЕРАТИВНОЙ МЕДИЦИНЕ

Прозрачный гель на основе модифицированного полиэтиленгликолем фибрина как инструмент для инкапсулирования клеток

Прозрачный гель на основе модифицированного полиэтиленгликолем фибрина как инструмент для инкапсулирования клеток

Shpichka A.I., Revkova V.A., Aksenova N.A., Yusubalieva G.M., Kalsin V.A., Semenova E.F., Zhang Y., Baklaushev V.P., Timashev P.S.

стр. 64-69.

Атомно-силовая микроскопия — дополнительный метод в биомедицинских морфологических исследованиях

Атомно-силовая микроскопия — дополнительный метод в биомедицинских морфологических исследованиях

Timashev P.S., Koroleva A.V., Konovalov N.A., Kotova S.L., Solovieva A.B.

стр. 70-80.

Исследование биохимических показателей митохондрий печени как маркеров гипоксии при регенерации ожоговой раны после экспериментальной термической травмы

Исследование биохимических показателей митохондрий печени как маркеров гипоксии при регенерации ожоговой раны после экспериментальной термической травмы

Soloveva A.G., Kulakova K.V., Orlinskaya N.Yu., Galova E.A.

стр. 81-87.

Экструзионная 3D-печать фотоотверждаемых гидрогелей с использованием рибофлавина мононуклеотида для тканевой инженерии

Экструзионная 3D-печать фотоотверждаемых гидрогелей с использованием рибофлавина мононуклеотида для тканевой инженерии

Savelyev A.G., Sochilina A.V., Akasov R.A., Mironov A.V., Semchishen V.A., Generalova A.N., Khaydukov E.V., Popov V.K.

стр. 88-92.

Мониторинг внутриклеточного pH в стволовых клетках при дифференцировках с использованием флуоресцентной микроскопии и pH-сенсора SypHer-2

Мониторинг внутриклеточного pH в стволовых клетках при дифференцировках с использованием флуоресцентной микроскопии и pH-сенсора SypHer-2

Meleshina A.V., Kashirina A.S., Dudenkova V.V., Vdovina N.V., Cherkasova E.I., Zagaynova E.V.

стр. 93-102.

Особенности формирования первичных культур клеток гиппокампа на скаффолдах,  
полученных из метакрилированной гиалуроновой кислоты

Особенности формирования первичных культур клеток гиппокампа на скаффолдах,  
полученных из метакрилированной гиалуроновой кислоты

Mishchenko T.A., Mitroshina E.V., Kuznetsova A.I., Shirokova O.M., Khaydukov E.V., Savelyev  
A.G., Popov V.K., Zvyagin A.V., Vedunova M.V.

стр. 103-110.